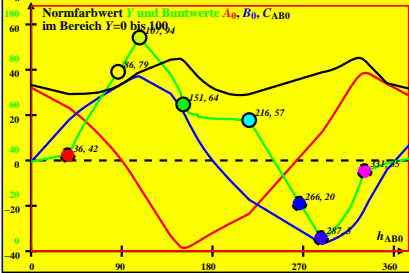
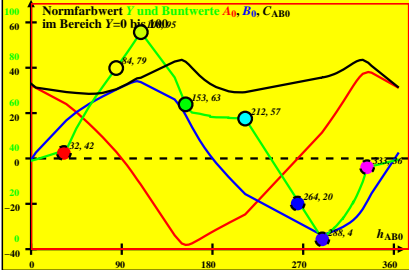


CIE-P60-Daten von -Ostwald-Farben von maximalem Buntwert C_{AB}
 $Y_w=100, Y_m=520_770, B_m=380_520$



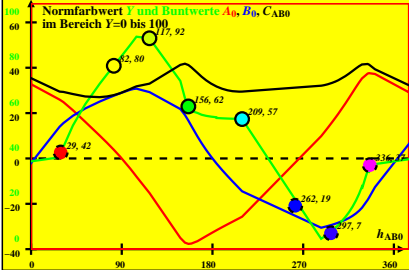
CIE-P55-Daten von -Ostwald-Farben von maximalem Buntwert C_{AB}
 $Y_w=100, Y_m=520_770, B_m=380_520$



0-000030-L0

DG040-2A_2_2

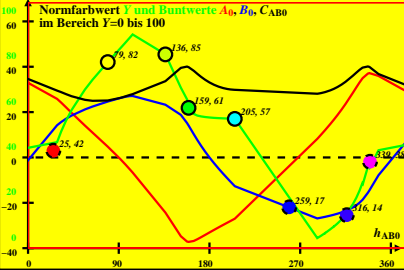
CIE-P50-Daten von -Ostwald-Farben von maximalem Buntwert C_{AB}
 $Y_w=100, Y_m=520_770, B_m=380_520$



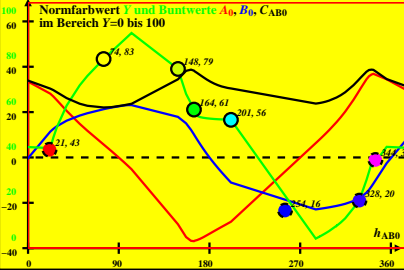
0-000030-L0

DG040-2A_2_3

CIE-P45-Daten von -Ostwald-Farben von maximalem Buntwert C_{AB}
 $Y_w=100, Y_m=520_770, B_m=380_520$



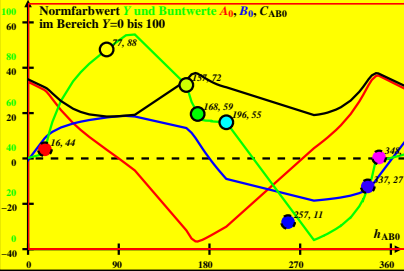
CIE-P40-Daten von -Ostwald-Farben von maximalem Buntwert C_{AB}
 $Y_w=100, Y_m=520_770, B_m=380_520$



0-000030-L0

DG040-2A_2_5

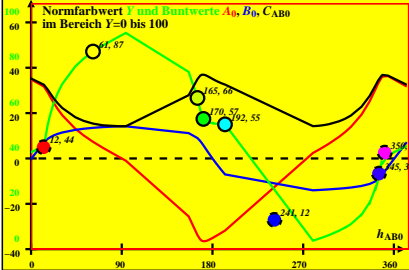
CIE-P35-Daten von -Ostwald-Farben von maximalem Buntwert C_{AB}
 $Y_w=100, Y_m=520_770, B_m=380_520$



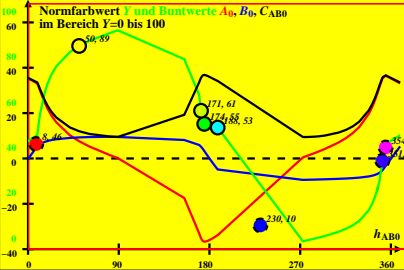
0-000030-L0

DG040-2A_2_6

CIE-P30-Daten von -Ostwald-Farben von maximalem Buntwert C_{AB}
 $Y_w=100, Y_m=520_770, B_m=380_520$



CIE-P25-Daten von -Ostwald-Farben von maximalem Buntwert C_{AB}
 $Y_w=100, Y_m=520_770, B_m=380_520$



0-000030-L0

DG040-2A_2_8